

С учетом (8.48) выражение (8.47) можно переписать в виде *)

$$I = \left(1 + \frac{V}{V_k}\right)^{1/2} (1 - e^{\pm \frac{eV}{kT}}) \frac{kT}{e\rho_0}. \quad (8.49)$$

Согласно (8.48) дифференциальное сопротивление при больших обратных напряжениях

$$\rho = \frac{\partial V}{\partial I} = \left(1 + \frac{V}{V_k}\right)^{1/2} 2\rho_0 \frac{eV}{kT}. \quad (8.50)$$

Как видно из (8.49), ρ растет с ростом напряжения, в то время как для химического запорного слоя сопротивление стремилось к постоянному значению; объясняется это различие тем, что с ростом напряжения растет толщина физического запорного слоя, что обусловливает дополнительный рост сопротивления.

8.6. ТЕОРИЯ *p-n* ПЕРЕХОДА УРАВНЕНИЕ НЕПРЕРЫВНОСТИ

Основным уравнением для решения многих задач, касающихся движения электронов в полупроводнике, является уравнение непрерывности, которое выражает закон сохранения материи по отношению к потоку частиц, число которых в некотором объеме может меняться за счет разности входящего и выходящего потоков, а также за счет каких-либо реакций, происходящих в этом объеме. В случае электронов и дырок такими реакциями может быть их генерация и рекомбинация.

Для электронов это уравнение будет иметь следующий вид:

$$\frac{\partial n}{\partial t} = \frac{n - n_0}{\tau} + \frac{1}{e} \operatorname{div} j_n + g'_n, \quad (8.51)$$

где n_0 — равновесная для данной температуры концентрация носителей;

$\operatorname{div} j_n$ — разность входящего и выходящего из данного объема тока;

*) В этой главе все расчеты проводятся для 1 см² контакта; поэтому мы не делаем различия между током и плотностью тока ($I = j$).

$(n - n_0)/\tau$ — разность скоростей тепловой генерации и рекомбинации (которая обращается в нуль при $n = n_0$);

g'_n — скорость генерации электронов в рассматриваемом объеме за счет сторонних факторов (фотонов, ионизующих поток частиц, или других причин).

Точно такой же вид имеет уравнение непрерывности для дырок:

$$\frac{\partial p}{\partial t} = \frac{p - p_0}{\tau} + \frac{1}{e} \operatorname{div} j_p + g'_p; \quad (8.52)$$

j_n в (8.51) и j_p в (8.52) — это полные токи дырок и электронов, возникающие за счет дрейфа в электрическом поле и диффузии:

$$j_n = eu_n E + eD_n \nabla n \quad (8.53)$$

и

$$j_p = eu_p E - eD_p \nabla p. \quad (8.54)$$

p-n ПЕРЕХОД В РАВНОВЕСИИ

На рис. 1.21, б, в, г и д был представлен контакт электронного и дырочного полупроводника в равновесии (т. е. после того, как электроны перешли в дырочную область в таком количестве, что уровни химического потенциала сравнялись).

В соответствии с этим рисунком ход потенциала в p-n переходе определяется дифференциальными уравнениями

$$x < 0 \quad \frac{d^2\Phi}{dx^2} = \frac{4\pi e^2 N_d}{\kappa}, \quad (8.55)$$

$$x > 0 \quad \frac{d^2\Phi}{dx^2} = \frac{4\pi e^2 N_a}{\kappa}. \quad (8.56)$$

Решив уравнения (8.55) и (8.56) при граничных условиях (при $x = l_n$, $\Phi = 0$ и $\frac{d\Phi}{dx} = 0$ и при $x = -l_p$, $\Phi = \Phi_0$ и $\frac{d\Phi}{dx} = 0$), получим

$$0 < x < l_n, \quad \Phi_n = \frac{2\pi e^2 N_d}{\kappa} (l_n - x)^2, \quad (8.57)$$

$$-l_p < x < 0, \quad \Phi_p = \frac{2\pi e^2 N_a}{\kappa} (l_p + x)^2. \quad (8.58)$$

Полный заряд справа и слева от p - n перехода должен быть одинаков, поэтому

$$\frac{l_n}{l_p} = \frac{N_a}{N_d} = \frac{p_p}{n_n}. \quad (8.59)$$

Уравнения (8.57), и (8.58) (8.59) позволяют определить полную толщину слоя объемного заряда l ; действительно:

$$l = l_n + l_p, \quad (8.60)$$

$$\Phi_0 = \Phi_n + \Phi_p = W_2 - W_1 = eV_K. \quad (8.61)$$

Подставив (8.57) и (8.58) в (8.61) и выразив согласно (8.60) и (8.59) l_n и l_p через l :

$$l_n = \frac{p_p}{p_p + n_n} l \quad \text{и} \quad l_p = \frac{n_n}{n_n + p_p}, \quad (8.62)$$

найдем

$$l = \left(\frac{\kappa V_K}{2\pi e^2} \frac{n_n + p_p}{n_n p_p} \right)^{1/2}. \quad (8.63)$$

ИНЖЕКЦИЯ И ЭКСТРАКЦИЯ НОСИТЕЛЕЙ

Рассмотрим теперь p - n переход в неравновесных условиях, т. е. когда к нему приложено внешнее напряжение V . Начнем с пропускного направления. В этом случае (см. гл. 1) число электронов в n -области, энергии которых достаточно, чтобы преодолеть потенциальный барьер (который уменьшился на величину eV , см. рис. 1.23) и перейти в p -область, будет

$$n_1 = \frac{2(2\pi m_n kT)^{3/2}}{h^3} e^{-\frac{\mu - eV}{kT}} = n_p e^{\frac{eV}{kT}}. \quad (8.64)$$

Предположим, что рекомбинацией носителей в слое объемного заряда можно пренебречь, и поэтому толщина его не играет существенной роли в работе p - n перехода; в соответствии с этим слой объемного заряда на рис. 1.22 сокращен до минимума и ход потенциала в нем изображен почти вертикальными линиями. При этих предположениях концентрацию носителей в слое объемного заряда можно считать постоянной и равной n_1 , т. е. на величину

$$\Delta n_p = n_1 - n_p = n_p \left(e^{\frac{eV}{kT}} - 1 \right) \quad (8.65)$$

больше равновесной концентрации электронов в *p*-области n_p .

Эти избыточные носители будут диффундировать в *p*-область и постепенно рекомбинировать с подходящими дырками, таким образом, концентрация избыточных электронов в *p*-области будет спадать по экспоненциальному закону:

$$\Delta n_p(x) = \Delta n_{p0} e^{-\frac{x}{L_n}}, \quad (8.66)$$

где L_n — так называемая диффузационная длина, выражаяющаяся через коэффициент диффузии и время жизни носителей, и x — расстояние от слоя объемного заряда. Это увеличение концентрации неосновных носителей носит название инжекции (впрыскивания) неосновных носителей через *p-n* переход.

При нарушении нейтральности любого проводника возникают чрезвычайно большие электростатические силы, которые притягивают заряды противоположного знака и восстанавливают нейтральность. Поэтому на величину концентрации неосновных носителей Δn_p возрастет и концентрация основных

$$\Delta p_p = \Delta n_p. \quad (8.67)$$

Однако $p_p \gg \Delta n_p$, и поэтому изменением p_p мы можем пренебречь.

Если ограничиться тем случаем, когда падение напряжения на *p-n* переходе мало по сравнению с контактной разностью потенциалов V_k между *p*- и *n*-областью *), то

$$n_p \ll n_1 \ll p_p. \quad (8.68)$$

Следовательно, убыль концентрации дырок за счет рекомбинации с избыточными электронами будет также ничтожной, поэтому p_p во всей *p*-области будет выражаться соотношением

$$p_p = \frac{2(2\pi m_p kT)^{3/2}}{\hbar^3} e^{\frac{\mu}{kT}}, \quad (8.69)$$

где μ' — расстояние от уровня химического потенциала до валентной зоны.

*) С другой стороны, мы будем всегда считать, что $eV \gg kT \approx 0,04$ эв и, следовательно, $n_1 \gg n_p$.

С другой стороны, концентрация электронов в *p*-области согласно (8.68) будет во много раз больше равновесной:

$$n_1 \gg n_p = \frac{2(2\pi m_n kT)^{3/2}}{\hbar^3} e^{-\frac{\mu}{kT}}, \quad (8.70)$$

где μ — расстояние от того же уровня Ферми до дна свободной зоны.

Таким образом, условие равновесия $n_p n_n = n_i^2$ в данном случае будет нарушено, так как концентрация неосновных носителей стала много больше равновесной.

В тех случаях (как, например, в рассматриваемом здесь), когда концентрация носителей отступает от равновесной, оказывается чрезвычайно полезным ввести новое понятие — так называемый квазиуровень Ферми μ_k^n , через который неравновесная концентрация выражается так же, как равновесная — через нормальный уровень Ферми:

$$n_1 = \frac{2(2\pi m_n kT)^{3/2}}{\hbar^3} e^{-\frac{\mu_k^n}{kT}}. \quad (8.71)$$

Выражение (8.71) и является определением величины μ_k^n ; из (8.71) находим

$$\mu_k^n = kT \ln \frac{n_1}{N_c}, \quad (8.72)$$

где N_c — эффективная плотность состояний в интервале энергий kT зоны проводимости, равная

$$N_c = \frac{2(2\pi m_n kT)^{3/2}}{\hbar^3}. \quad (8.73)$$

Согласно (8.71) и (8.65) в точке *O* (см. рис. 8.4,*a*)

$$\mu_k^n = \mu + eV; \quad (8.74)$$

на диффузионной длине согласно (8.66) $n_1(x)$ спадает экспоненциально, приближаясь к n_p . Следовательно, квазиуровень Ферми понижается примерно линейно, приближаясь к нормальному уровню Ферми.

Все сказанное об электронах в *p*-области можно без изменений отнести к дыркам в *n*-области, поэтому мы не будем повторять здесь этих рассуждений.

На рис. 8.4, а представлен ход квазиуровней Ферми для дырок и электронов при пропускном направлении приложенного напряжения. Во всех случаях, когда концентрация носителей превышает равновесную, квазиуров-

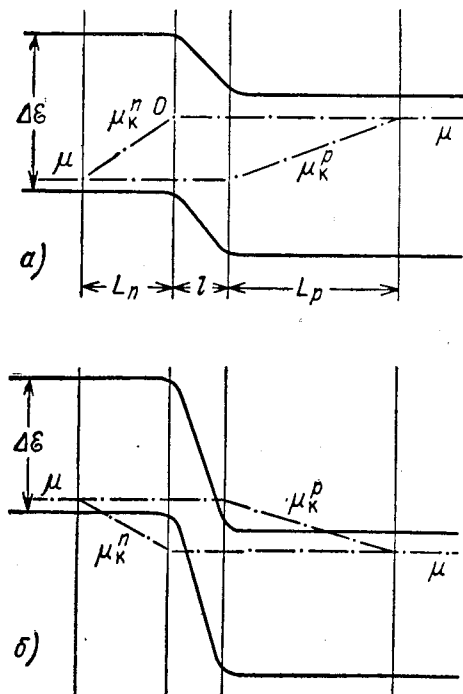


Рис. 8.4. Ход квазиуровней Ферми при напряжении, приложенном в пропускном (а) и запорном (б) направлениях:
l — область объемного заряда, L_n и L_p — диффузионные длины электронов и дырок.

вень Ферми подходит ближе к соответствующей зоне, чем нормальный уровень Ферми; выражение (8.74) может быть также переписано в форме

$$\mu_k^n = \mu + \ln \frac{n_1}{n_p} . \quad (8.75)$$

Как мы уже упоминали, рассмотренный выше случай, когда концентрация неосновных носителей повышается за

счет их диффузии через p - n переход, называется инжекцией. Существует целый ряд других возможностей повышения концентрации (основных и неосновных) носителей: фотоионизация (см. гл. 9), ударная и электростатическая ионизация; почти во всех случаях для количественного анализа оказывается полезным ввести квазиуровни Ферми.

На рис. 8.4,б представлен случай, когда к p - n переходу приложено напряжение в запорном направлении. В этом случае концентрация носителей в n -области, имеющих энергию, достаточную для перехода в p -область, падает:

$$n_1 = n_p e^{-\frac{eV}{kT}}. \quad (8.76)$$

Для того чтобы понять, как это отражается на концентрации электронов в p -области, восстановим картину для равновесия и пропускного направления тока.

В случае равновесия ($V = 0$) $n_1 = n_p$, т. е. потоки слева направо и справа налево одинаковы; убыль числа электронов в любой точке p -области за счет рекомбинации и диффузии в n -область компенсируется генерацией и встречной диффузией. При пропускном направлении диффузия электронов из n -области значительно превышает встречную диффузию, концентрация электронов в p -области растет и соответственно растет скорость рекомбинации. За счет увеличившейся скорости рекомбинации неравновесная концентрация падает на диффузионной длине по экспоненциальному закону, постепенно приближаясь к равновесию.

В случае запорного направления приложенного напряжения и при $eV \gg kT$ (а для запорного направления это неравенство практически всегда соблюдается) потоком электронов из n -области в p -область в первом приближении можно пренебречь и поток электронов из p -области в n -область ничем не компенсируется. Поэтому концентрация электронов на диффузионной длине в p -области падает по экспоненциальному закону. Так как в сечении, находящемся на расстоянии диффузионной длины L от p - n перехода, электроны из n -области благодаря рекомбинации не доходят в любом случае, то здесь концентрация носителей во всех случаях, а следовательно, и в рассматриваемом, должна оставаться приблизительно равновесной; в соответствии с этим на диффузионной длине она будет убывать по закону

$$\Delta n_p(x) = \Delta n_{p0} e^{-\frac{x}{L_n}},$$

где

$$\Delta n_{p0} = n_p \left(e^{-\frac{eV}{kT}} - 1 \right). \quad (8.77)$$

Это явление (т. е. убывание концентрации неосновных носителей за счет диффузии через *p-n* переход) называется экстракцией.

ВЫПРЯМЛЕНИЕ ПРИ ПОСТОЯННОМ НАПРЯЖЕНИИ

Полученные выражения (8.65) и (8.77) позволяют нам воспроизвести картину выпрямления на *p-n* переходе.

Рассмотрим сначала пропускное направление тока. В этом случае электроны инжектируются в *n*-область и движутся в ней, постепенно рекомбинируя с дырками; для того чтобы вычислить электронный ток согласно (8.65), мы должны учесть их диффузию и дрейф в электрическом поле. То же самое можно сказать о дырках в *p*-области: они движутся, постепенно рекомбинируя с электронами, а оставшиеся инжектируются в *n*-область.

Однако и на дырки и на электроны действует одно и то же поле, но концентрация электронов в *p*-области во много раз меньше, чем концентрация дырок, поэтому омическим электронным током в *p*-области можно пренебречь.

С другой стороны, мы предположили, что $V \ll V_k$, и, следовательно, концентрация инжектированных электронов много меньше концентрации дырок:

$$n_1 \ll p_p. \quad (8.78)$$

Поэтому изменением концентрации дырок за счет рекомбинации с электронами можно пренебречь. Это значит, что градиент концентрации и диффузионный ток дырок ничтожно малы, т. е. дырочный в *p*-области ток — чисто омический. Таким образом, вырисовывается следующая картина прохождения тока через контакты. Справа вдали от перехода течет практически чисто дырочный ток (так как $n_p \ll p_p$). В области *p-n* перехода этот ток можно разбить на два:

$$I_p = I'_p + I''_p, \quad (8.79)$$

где I'_p — это та часть дырок, которая рекомбинирует с инжектированными в *p*-область электронами, и I''_p — другая часть, которая инжектируется в *n*-область и там рекомбинирует с электронами. Ток I'_p мы можем определить, вычис-

лив диффузионный поток электронов, инжектированных в *p*-область:

$$I'_p = eD_n \frac{\partial \Delta n(x)}{\partial x} \Big|_{x=0} = \frac{eD_n n}{L_n} (e^{\frac{eV}{kT}} - 1). \quad (8.80)$$

Выражение для числа дырок, инжектированных в *p*-область, можно написать по аналогии с (8.66):

$$\text{при } 0 < x < L_p \quad \Delta p(x) = p_n e^{-\frac{x}{L_p}} (e^{\frac{eV}{kT}} - 1). \quad (8.81)$$

Следовательно,

$$I''_p = eD_p \frac{\partial \Delta p(x)}{\partial x} = \frac{eD_p p_n}{L_p} (e^{\frac{eV}{kT}} - 1). \quad (8.82)$$

Таким образом, полный ток через *p-n* переход

$$I = I'_p + I''_p = e \left(\frac{D_n n_p}{L_n} + \frac{D_p p_n}{L_p} \right) (e^{\frac{eV}{kT}} - 1). \quad (8.83)$$

Рассмотрим теперь работу *p-n* перехода в запорном направлении. В случае пропускного направления внешнее напряжение было направлено таким образом, что тянуло носители через *p-n* переход и инжектировало их в область с противоположным знаком проводимости.

Теперь мы имеем обратную картину, рассмотрим ее на примере электронов и дырок в *p*-области, а потом перенесем сделанные выводы на *n*-область. По-прежнему в *p*-области вдали от *p-n* перехода течет практически чисто дырочный ток (так как концентрация дырок p_p много больше концентрации электронов n_p), только ток этот теперь течет в направлении от перехода. Точно так же в глубине *n*-области течет чисто электронный ток и тоже в направлении от перехода. Как уже упоминалось, при тепловом равновесии ($V = 0$) генерация компенсирует рекомбинацию и диффузия носителей слева направо и справа налево также компенсируют друг друга. При запорном направлении этот баланс нарушается: почти все неосновные носители (в данном случае электроны), генерированные в *p*-область на расстояние диффузионной длины, уходят в *n*-область. Согласно (8.77) этот диффузионный ток равен

$$I_n = eD_n \frac{\partial \Delta n}{\partial x} = \frac{eD_n n_p}{L_n} (1 - e^{-\frac{eV}{kT}}). \quad (8.84)$$

Точно так же почти все дырки, созданные в n -области, переходят в p -область; по аналогии с (8.84)

$$I_p = e D_p \frac{\partial \Delta p}{\partial x} = e \frac{D_p p_n}{L_p} \left(1 - e^{-\frac{eV}{kT}}\right). \quad (8.85)$$

Таким образом, полный ток через p - n переход в этом случае будет

$$I = I_p + I_n = e \left(\frac{D_n n_p}{L_n} + \frac{D_p p_n}{L_p} \right) \left(1 - e^{-\frac{eV}{kT}}\right). \quad (8.86)$$

Формулы (8.83) и (8.86) можно объединить, если току и напряжению для пропускного направления приписать знак плюс, а для запорного — минус. При неограниченном возрастании запорного напряжения ток согласно (8.85) стремится к насыщению:

$$I_s = e \left(\frac{D_n n_p}{L_n} + \frac{D_p p_n}{L_p} \right). \quad (8.87)$$

Подставив в выражения для L_p и L_n

$$L_p = \sqrt{D_p \tau_p} \quad \text{и} \quad L_n = \sqrt{D_n \tau_n} \quad (8.88)$$

и избавившись от иррациональности в знаменателе, получим

$$I_s = e \left(\frac{n_p}{\tau_n} L_n + \frac{p_n}{\tau_p} L_p \right), \quad (8.89)$$

т. е. ток насыщения равен полному числу пар, создаваемых на диффузионных длинах в n - и p -области.

С учетом всего сказанного выше работу p - n перехода в запорном направлении можно обрисовать следующим образом.

На диффузионной лине в p -области создается в одну секунду следующее число пар электронов:

$$I_{sn} = \frac{n_p}{\tau_n} L_n; \quad (8.90)^*)$$

большая часть созданных электронов

$$I_{sn} \left(1 - e^{-\frac{eV}{kT}}\right) \quad (8.91)$$

*) $n_p / \tau_n = p_p / \tau_p^n$, где τ_p^n — время жизни дырки в p -области, точно так же $p_n / \tau_p = n_n / \tau_n^n$, где τ_n^n — время жизни электрона в n -области.

переходит в n -область и там превращается в омический ток, меньшая —

$$I_{sp} e^{-\frac{eV}{kT}} \quad (8.92)$$

рекомбинирует с дырками в p -области.

Точно так же на диффузионной длине в n -области создается в секунду

$$I_{sp} = \frac{\rho_n}{\tau_p} L_p \quad (8.93)$$

пар, причем $I_{sp} (1 - e^{-\frac{eV}{kT}})$ дырок диффундирует в p -область и превращается в омический ток, а остальные рекомбинируют.

ВЫПРЯМЛЕНИЕ НА p - n ПЕРЕХОДЕ ПРИ ПЕРЕМЕННОМ НАПРЯЖЕНИИ

Предположим, что напряжение V в (8.84) на p - n переходе состоит из двух частей, отвечающих постоянному и переменному току:

$$V = V_0 + v_1 e^{i\omega t}, \quad (8.94)$$

где сигнал переменного тока v_1 мы будем считать настолько малым, что можно при разложении экспоненты в (8.94) в ряд воспользоваться линейным приближением (т. е. $ev_1 \ll kT$). Тогда согласно (8.64)

$$n_1 = n_p e^{\frac{eV_0}{kT}} \left(1 + \frac{ev_1}{kT} e^{i\omega t} \right). \quad (8.95)$$

Представим эту концентрацию в виде трех слагаемых:

$$n_1 = n_p + n_0 + n_\sim e^{i\omega t}, \quad (8.96)$$

где

$$n_0 = n_p \left(e^{\frac{eV_0}{kT}} - 1 \right) \quad (8.97)$$

и

$$n_\sim = \frac{en_p v_1}{kT} e^{\frac{eV_0}{kT}}. \quad (8.98)$$

До тех пор пока $n_1 \ll p_p$, мы можем считать время жизни τ_n и коэффициент диффузии электронов D_n

в p -области не зависящими от V и рассматривать их в уравнении непрерывности как постоянные величины *).

Напишем уравнение непрерывности для электронов в p -области. Подставляя в уравнение непрерывности (8.51) выражение для тока (8.53) и пренебрегая в соответствии с сказанным выше омическим членом, получим

$$\frac{\partial n}{\partial t} = \frac{n_p - n(x)}{\tau_n} - D_n \frac{\partial^2 n}{\partial x^2}. \quad (8.99)$$

Решение этого уравнения при учете граничных условий: при $x=0$ $n=n_0$ и при $x=L_n$ $n=n_p$, имеет вид

$$n = n_p + n_0 e^{-\frac{x}{L_n}} + n_\sim \exp \left[i\omega t - \frac{x(1+i\omega\tau_n)^{\frac{1}{2}}}{L_n} \right]. \quad (8.100)$$

Выражение (8.100) позволяет вычислить диффузионный ток электронов в n -области:

$$I_n = eD_n \frac{\partial n}{\partial x} = \frac{en_0 D_n}{L_n} + \frac{en_\sim D_n e^{i\omega t} (1+i\omega\tau_n^{\frac{1}{2}})}{L_n}. \quad (8.101)$$

Подставляя n_0 из (8.97) в (8.101), получаем прежнее выражение (8.84) для компоненты I , отвечающей постоянному току:

$$I_{n0} = \frac{en_p D_n}{L_n} (e^{\frac{eV_0}{kT}} - 1). \quad (8.102)$$

Подставляя в (8.101) выражение для n_\sim , получаем выражение для переменной компоненты

$$I_{n\sim} = \frac{en_p u_n}{L_n} e^{\frac{eV_0}{kT}} (1+i\omega\tau_n)^{\frac{1}{2}} v_1 e^{i\omega t} \quad (8.103)$$

или

$$I_{n\sim} = (G_{дин} + iS_{дин}) v_1 e^{i\omega t} = A_n v_1 e^{i\omega t}, \quad (8.104)$$

где A_n — полная электронная проводимость, состоящая из вещественной части $G_{дин}$ и мнимой $S_{дин}$.

Полученное выражение позволяет сделать два важных вывода:

1. Несмотря на то, что мы не учитывали обычную электростатическую емкость, в выражении (8.104) появилась

*) До сих пор мы молчаливо пользовались этим предположением.

емкостная составляющая тока (опережающая напряжение на 90°). Качественно ее происхождение можно объяснить следующим образом. Согласно (8.57) и (8.58) заряд на $p-n$ переходе зависит от приложенного к нему напряжения (т. е. заряд будет меняться с изменением напряжения); по отношению к внешней цепи это изменение заряда будет проявляться как дополнительная (по сравнению с электростатической) емкость. Эта емкость называется диффузионной емкостью $p-n$ перехода, которая наряду с электростатической ограничивает применение $p-n$ переходов на высоких частотах, но, с другой стороны, открывает целый ряд важных применений, связанных с ее зависимостью от напряжения.

2. Если частота приложенного напряжения мала и

$$\omega t_n \ll 1,$$

то вещественная составляющая проводимости

$$G_{n0} = e n_p e^{\frac{eV_0}{kT}} \frac{u}{L_p} = \frac{e(n_p + n_0)}{L} \quad (8.105)$$

и при $V \rightarrow 0$

$$G_{n0} = \frac{e n_p u_p}{L_p} = \frac{\sigma_p^p}{L_p}, \quad (8.106)$$

где σ_p^p — электронная проводимость в p -области, т. е. сопротивление на 1 см^2 $p-n$ перехода будет равно сопротивлению электрическому току, вызванному малой n_p концентрацией электронов в p -области.

Точно так же дырочная проводимость (мы проводим ее здесь по аналогии без вывода)

$$G_{0p} = \frac{e p_n u_p}{L_n} = \frac{\sigma_p^n}{L_n} \quad (8.107)$$

будет определяться дырочной электропроводностью в n -области.

Приведенные выше выражения (8.106) и (8.107) позволяют сделать важный вывод: дифференциальное (динамическое) сопротивление $p-n$ перехода намного больше, чем сопротивление собственного полупроводника (так как n_p и $p_n \ll n_i$).

Нетрудно выразить активную электропроводность G_{n0} $p-n$ перехода через ток насыщения I_{ns} . Разлагая выражение (8.102) в ряд, получаем

$$I = I_{ns} \frac{eV_0}{kT}. \quad (8.108)$$

Сопоставив (8.105) и (8.108), находим

$$G_{0n} = I_{ns} \frac{e}{kT}$$

и точно также

$$G_{0p} = I_{ps} \frac{e}{kT}. \quad (8.109)$$

Нетрудно также получить выражение для емкостной составляющей проводимости. Согласно (8.104)

$$A_n = G_n + iS_n = (1 + i\omega\tau_n)^{1/2} G_{n0} e^{\frac{eV_0}{kT}} \quad (8.110)$$

при низких частотах, когда $\omega \ll 1/\tau_n$; разлагая выражения в скобках в (8.110) в ряд, получаем

$$G_n + iS_n = G_{n0} e^{\frac{eV_0}{kT}} + i\omega \frac{\tau_n}{2} g_n e^{\frac{eV_0}{kT}}. \quad (8.111)$$

Таким образом, емкость на единицу площади

$$C_n = \frac{\tau_n}{2} G_{n0} e^{\frac{eV_0}{kT}}. \quad (8.112)$$

При $V_0 = 0$, подставляя в (8.112) выражения G_{n0} и τ_p и воспользовавшись соотношением Эйнштейна

$$u_n = \frac{eD_n}{kT}, \quad (8.113)$$

получим

$$C_n = \frac{e^2 n_p L_n}{2kT}. \quad (8.114)$$

Полученное выражение имеет простой физический смысл. При небольшом приложенном напряжении ΔV изменение электронного заряда перехода будет

$$\Delta Q = \frac{1}{2} e n_p (e^{\frac{e\Delta V}{kT}} - 1) L_n \approx \frac{e^2 n_p L_n}{2kT} \Delta V. \quad (8.115)$$

Поделив ΔQ на ΔV , получим точное выражение (8.114) для диффузационной емкости $p-n$ перехода. Аналогичные выражения могут быть получены для дырочной активной проводимости и емкости. При низких частотах G_n и C_n ведут себя, таким образом, как проводимость и емкость, включенные параллельно друг другу. При высоких частотах, однако, $p-n$ переход ведет себя совершенно иначе.

Как следует из (8.103), при $\omega\tau_n \gg 1$ и $V_0 = 0$

$$G_n = S_n = \sqrt{\frac{\tau_n}{2}} G_{n0} \sqrt{\omega} = \frac{en_p \mu_n \sqrt{\tau_n}}{\sqrt{D_n \tau_n}} \sqrt{\omega} = \frac{en_p \mu_n}{\sqrt{D_n}} \sqrt{\omega}. \quad (8.116)$$

Как видно из (8.116), и активная и реактивная составляющие перестают зависеть от времени жизни и определяются только диффузией электронов. Качественно это понятно: при $\tau_n \gg 1/\omega$ электрон совершит очень много колебаний, прежде чем будет захвачен, и процессы рекомбинации перестают играть существенную роль. При еще больших частотах, когда частота колебаний становится больше числа столкновений электрона, надо учитывать его инерцию (т. е. эффективную массу), что приводит к индуктивному сдвигу фазы — этот вопрос рассмотрен в следующей главе.

ВЫПРЯМЛЕНИЕ НА ТОЛСТОМ $p-n$ ПЕРЕХОДЕ

Развитые выше представления были основаны на предположении, что рекомбинацией в слое объемного заряда можно пренебречь; это действительно имеет место, когда толщина слоя много меньше диффузионной длины дырок и электронов. Такой $p-n$ переход называется тонким.

Но тонкий $p-n$ переход оказывается прозрачным для туннельного эффекта, поэтому, когда в запорном направлении прикладывается напряжение, большее

$$V_k = \mu_n + \mu'_p, \quad (8.117)$$

где μ_n — расстояние от уровня химического потенциала до дна зоны проводимости в n -области и μ'_p — расстояние от уровня химического потенциала до верхнего края зоны в p -области, то становятся возможными туннельные переходы из валентной зоны p -проводника в свободную зону n -проводника; при этом запорный ток начинает экспоненциально возрастать.

Кроме этого, напряжение поля в тонком запорном слое при запорном напряжении настолько возрастает, что становится возможной ударная ионизация, которая при размножении пар ведет к пробою выпрямителя.

Для силовых выпрямителей одной из важнейших характеристик является высокое обратное напряжение, и эти

явления недопустимы. Поэтому в данном случае применяются толстые p - n переходы, в которых уже нельзя пренебречь рекомбинацией в слое объемного заряда.

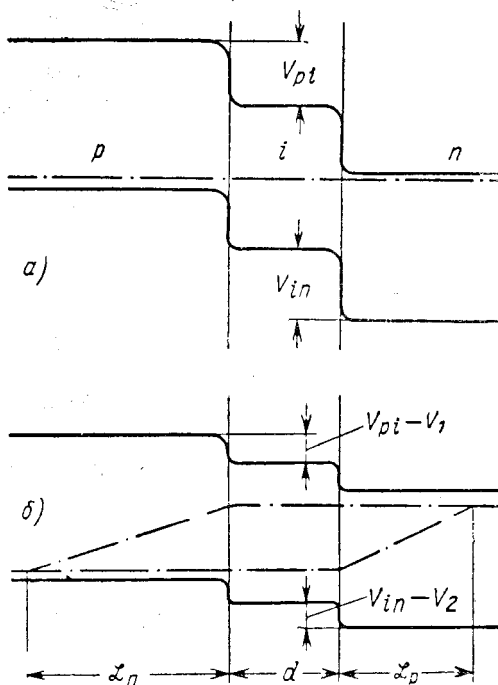


Рис. 8.5. Ступенчатый (p - i - n) переход:
а — в состоянии равновесия; б — при напряжении,
приложенном в пропускном направлении.

Мы рассмотрим теорию толстого перехода на простейшем примере ступенчатого p - i - n перехода, в котором p -и n -области разделены областью собственной проводимости (см. рис. 8.5, а и б). На рис. 8.5, а изображен такой переход в состоянии равновесия. На рис. 8.5, б представлена зонная диаграмма этого перехода, когда к нему приложено напряжение V в пропускном направлении, которое распределяется каким-то образом между p - i и i - n переходами *). При

*) Выше было показано, что сопротивление выпрямляющих переходов много больше, чем собственного полупроводника, поэтому падением напряжения в i -области мы в первом приближении можем пренебречь.

этом полный ток через p - n переход будет состоять из двух частей:

$$I = I_p + I_c, \quad (8.118)$$

где I_p — рекомбинационный ток, обусловленный рекомбинацией электронов и дырок в i -области; I_c — «сквозной» ток, обусловленный рекомбинацией электронов, инжектируемых в p -область, и дырок, инжектируемых в n -область.

Как будет видно из дальнейшего, выражение для сквозного тока ничем не отличается от соответствующего выражения (8.118) для тонкого p - n перехода.

Мы начнем с вычисления рекомбинационного тока I_p . Приложении напряжения V_1 к первому переходу число электронов на границе n - и i -области возрастет на величину

$$\Delta n = (n_i - n_i) = n_i (e^{\frac{eV_1}{kT}} - 1). \quad (8.119)$$

Аналогично можно вычислить увеличение концентрации дырок на границе p - и i -области:

$$\Delta p = (p_i - n_i) = p_i (e^{\frac{eV_2}{kT}} - 1). \quad (8.120)$$

Если ограничиться рассмотрением того случая, когда толщина (d) области i много меньше диффузационной длины, то эта же концентрация избыточных электронов (и дырок) приблизительно сохранится во всей i -области; следовательно, общее число электронов, рекомбинирующих в 1 сек в i -области, будет

$$I_{pn} \approx \frac{\Delta n}{\tau_n^i} d \approx \frac{n_i}{\tau_n^i} d (e^{\frac{eV_1}{kT}} - 1). \quad (8.121)$$

Точно так же можно вычислить рекомбинационный ток дырок, инжектируемых из p -области в i -область:

$$I_{pp} = \frac{\Delta p}{\tau_p^i} d = \frac{p_i}{\tau_p^i} d (e^{\frac{eV_2}{kT}} - 1). \quad (8.122)$$

Из условия стационарности $I_{pn} = I_{pp} = I_p$. Но $\Delta n = \Delta p$ — это следует из условия нейтральности; следовательно, из (8.121) получаем

$$\tau_n^i = \tau_p^i. \quad (8.123)$$

Мы поэтому в дальнейшем индексы p и n будем опускать. Учитывая что $n_i = p_i$ (что также следует из условия

нейтральности в состоянии равновесия), из (8.121) и (8.122) получаем

$$V_1 = V_2, \quad (8.124)$$

и так как $V_1 + V_2 = V$ равно приложенному напряжению, то

$$V_1 = V_2 = \frac{V}{2}.$$

Таким образом, мы получаем окончательное выражение для рекомбинационного тока:

$$I_p = \frac{en_i d}{\tau_i} \left(e^{\frac{eV}{2kT}} - 1 \right). \quad (8.125)$$

Вычислим теперь «сквозной» ток. Если бы число электронов i -области сохранилось равновесным, но к $i-p$ переходу было приложено напряжение V_2 , то за счет инжеции из i -области число электронов в p -области на границе с i -областью возросло бы до величины

$$n_2 = n_p e^{\frac{eV_2}{kT}} = n_i e^{-\frac{e(V_{pi} - V_2)}{kT}}, \quad (8.126)$$

где V_{pi} — контактная разность потенциалов между i - и p -областью. Но число электронов в i -области возрастает благодаря инжеции из n -области:

$$n_i = n_i^* e^{\frac{eV_1}{kT}}. \quad (8.127)$$

Следовательно, соответственно должно возрасти число электронов, инжектируемых в p -область:

$$n_2 = n_p e^{\frac{e(V_1 + V_2)}{kT}} = n_p e^{\frac{eV}{kT}}. \quad (8.128)$$

По мере удаления от $i-p$ перехода число избыточных электронов в p -области $\Delta n_2(x)$ убывает по экспоненциальному закону

$$\Delta n_2(x) = n_p \left(e^{\frac{eV}{kT}} - 1 \right) e^{-\frac{x}{L_n}}. \quad (8.129)$$

Следовательно, диффузионный ток электронов в p -области

$$I_{cn} = e D_n \frac{\partial n}{\partial x} = \frac{e D_n n_p}{L_n} \left(e^{\frac{eV}{kT}} - 1 \right). \quad (8.130)$$

Точно так же можно получить выражение для сквозного дырочного тока:

$$I_{cp} = \frac{eD_p p_n}{L_p} (e^{\frac{eV}{kT}} - 1). \quad (8.131)$$

Таким образом, согласно (8.125), (8.130) и (8.131) полный ток через $p-n$ переход будет

$$I = I_p + I_c = I_p + I_{cn} + I_{cp} = \frac{en_i d}{\tau_i} (e^{\frac{eV}{2kT}} - 1) + \\ + \left(\frac{eD_n n_p}{L_n} + \frac{eD_p p_n}{L_p} \right) (e^{\frac{eV}{kT}} - 1). \quad (8.132)$$

Нетрудно показать, что выражение (8.132) сохраняет силу и для запорного направления тока. Можно показать, что при большой толщине перехода, в мощных выпрямителях, основную роль играет рекомбинационный ток.

туннельные диоды

Нам остается рассмотреть противоположный случай — очень тонкого запорного слоя, прозрачного для туннельного эффекта. На рис. 8.6, *a, b* и *v* изображена серия таких $p-n$ переходов (с постепенно возрастающей концентрацией основных носителей).

В последнем случае (рис. 8.6, *v*) и дырки и электроны находятся в вырожденном состоянии, уровень химического потенциала проходит внутри соответствующей зоны. На рис. 8, *g, d, e* изображены вольтамперные характеристики тех же $p-n$ переходов.

Остановимся сначала на рис. 8.6, *a, b, g, d*. Как видно из этих рисунков, при увеличении концентрации примесей и носителей *) уменьшается критическое напряжение V_0 , при котором запорный ток благодаря туннельному эффекту начинает резко возрастать. В случае *d* ток в запорном направлении начинает возрастать более резко и при меньших напряжениях, чем в пропускном направлении, т. е. по существу запорное направление становится пропускным, а пропускное — запорным.

*) Т. е. по мере приближения уровня химического потенциала ко дну зоны проводимости в n -области и ко дну валентной зоны в p -области.

Диоды, основанные на этом явлении, называются обращенными. По сравнению с обычным, обращенный диод обладает тремя преимуществами:

1) возможностью применения для детектирования малых сигналов, поскольку обратный ток начинает возрастать при очень малых напряжениях;

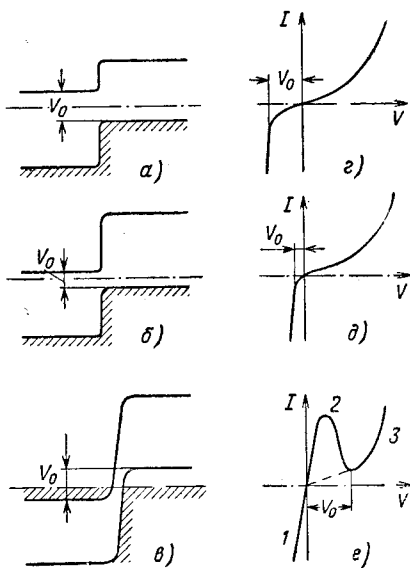


Рис. 8.6. Зонные диаграммы и вольтамперные характеристики тонких $p-n$ переходов (прозрачных для туннельного эффекта).

2) возможностью применения его в ключевых схемах, так как обратный ток возрастает очень резко;

3) возможностью работы на высоких частотах, так как для туннельного эффекта требуется ничтожное время, а частотные возможности обычных диодов ограничены инерционностью рекомбинации и диффузии носителей.

Еще более своеобразный вид имеет характеристика $p-n$ перехода, изображенная на рис. 8.6, ε; здесь носители по обе стороны от перехода находятся в вырожденном состоянии. Такие диоды называются туннельными. На рис. 8.6, ε напряжение, приложенное к переходу, равно нулю; несмотря на то, что переход и при этом прозрачен для туннельного эффекта, результирующий ток в этом случае равен нулю; это обусловлено следующими причинами.

Переходит и справа налево, и слева направо могут только электроны, находящиеся выше уровня Ферми слева, и дырки, находящиеся ниже уровня Ферми справа; число и тех и других (относительно) очень мало, поэтому каждый из этих токов очень мал. Кроме того, эти токи равны друг другу, поэтому результирующий ток равен нулю.

Картина резко меняется, когда к переходу приложено напряжение. На рис. 8.7, а представлена зонная схема перехода, когда к нему приложено напряжение в запорном направлении. В этом случае в n -область могут переходить все электроны из p -области, энергия которых выше уровня Ферми в n -области, и ток очень резко возрастает. Участок характеристики туннельного диода 1 (на рис. 8.6, е) подобен характеристике обращенного с той лишь разницей, что возрастание тока начинается сразу же с напряжения, равного нулю.

Чем больше запорное напряжение, тем больше число электронов, которые могут переходить благодаря туннельному эффекту из p -области в n -область, и тем больше обращенный ток. Совершенно по-иному обстоит дело при противоположной полярности напряжения. На рис. 8.7, б и в изображен p - n переход при двух напряжениях, приложеных в пропускном направлении. Как видно из рис. 8.7, б,

в этом случае в валентную зону p -области могут переходить

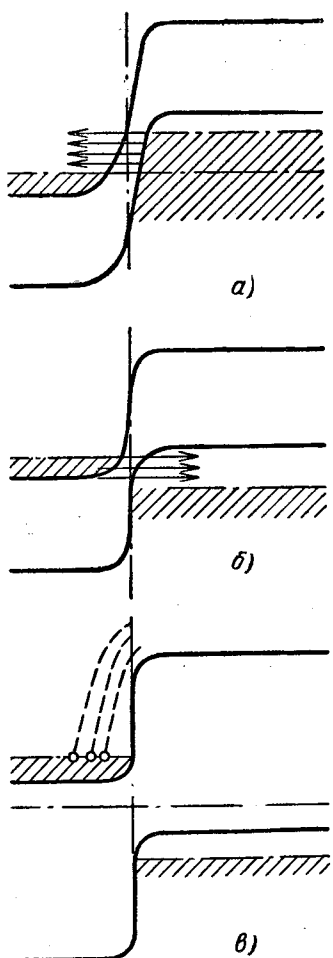


Рис. 8.7. Зонная диаграмма туннельного диода при напряжении, различном по величине и направлению.

зарженных в пропускном направлении. Как видно из рис. 8.7, б, в этом случае в валентную зону p -области могут переходить

Все электроны из свободной зоны *n*-области, и туннельный ток в этом случае максимален (участок 2 на рис. 8.6, *e*).

Напротив на участке 3 (рис. 8.6, *e*) свободная зона поднялась настолько высоко, что напротив нее в *p*-области находится запрещенная зона и туннельный ток в этом случае отсутствует. Однако при этом потенциальный барьер уже значительно упал и начинает возрастать обычный диффузионный ток через *p-n* переход. Поэтому вольтамперная характеристика туннельного диода имеет вид, представленный на рис. 8.6, *e*.

Чрезвычайно большое значение имеет в данном случае наличие участка с отрицательным сопротивлением ($dV/dT < 0$), позволяющим очень широко использовать туннельные диоды для усиления, генерации и в схемах переключения. Благодаря своей малой инерционности туннельные диоды с успехом используются в СВЧ диапазоне. Меняя степень легирования по обе стороны от *p-n* перехода, можно в широких пределах менять вольтамперную характеристику и частотные параметры туннельных диодов.